



УДК 543.422.25:547.458.057:577.114.012

## СИНТЕЗ АМИНОЭТИЛГЛИКОЗИДОВ ОЛИГОСАХАРИДНЫХ ЦЕПЕЙ ГЛИКОЛИПИДОВ Gb3, Gb4 И Gb5

© 2003 г. П. Е. Чешев, Е. А. Хатунцева, А. Г. Гербст, Ю. Е. Цветков,  
А. С. Шапков, Н. Э. Нифантьев<sup>#</sup>

Институт органической химии им. Н.Д. Зелинского РАН, 119991, Москва, В-334, Ленинский просп., 47

Поступила в редакцию 20.06.2002 г. Принята к печати 22.08.2002 г.

4-*O*-Гликозилированием (2-азидоэтил)-2,3,6-три-*O*-бензоил-4-*O*-(2,3,6-три-*O*-бензоил- $\beta$ -*D*-галактопиранозил)- $\beta$ -*D*-глюкопиранозида этил-2,3,4,6-тетра-*O*-бензил- и этил-3-*O*-ацетил-2,4,6-три-*O*-бензил-1-тио- $\alpha$ -*D*-галактопиранозидами в присутствии метилтрифторметилсульфоната были получены трисахарид (2-азидоэтил)-(2,3,4,6-тетра-*O*-бензил- $\alpha$ -*D*-галактопиранозил)-(1 $\rightarrow$ 4)-(2,3,6-три-*O*-бензоил- $\beta$ -*D*-галактопиранозил)-(1 $\rightarrow$ 4)-2,3,6-три-*O*-бензоил- $\beta$ -*D*-глюкопиранозид и его 3"-*O*-ацетилированный аналог (2-азидоэтил)-(3-*O*-ацетил-2,4,6-три-*O*-бензил- $\alpha$ -*D*-галактопиранозил)-(1 $\rightarrow$ 4)-(2,3,6-три-*O*-бензоил- $\beta$ -*D*-галактопиранозил)-(1 $\rightarrow$ 4)-2,3,6-три-*O*-бензоил- $\beta$ -*D*-глюкопиранозид с выходами 85 и 83% соответственно. После удаления ацетильной защитной группы в последнем и гликозилирования (4-трихлорацетамидофенил)-3,4,6-три-*O*-ацетил-2-дезокси-1-тио-2-трихлорацетамидо- $\beta$ -*D*-галактопиранозидом и (4-трихлорацетамидофенил)-4,6-ди-*O*-ацетил-2-дезокси-3-*O*-(2,3,4,6-тетра-*O*-ацетил- $\beta$ -*D*-галактопиранозил)-1-тио-2-трихлорацетамидо- $\beta$ -*D*-галактопиранозидом в дихлорметане в присутствии *N*-йодсукцинида и трифторметилсульфокислоты были получены соответствующие избирательно защищенные производные тетрасахарида GalNAc(β1 $\rightarrow$ 3)Gal(α1 $\rightarrow$ 4)Gal(β1 $\rightarrow$ 4)Glcβ-OCH<sub>2</sub>CH<sub>2</sub>N<sub>3</sub> и пентасахарида Gal(β1 $\rightarrow$ 3)GalNAc(β1 $\rightarrow$ 3)Gal(α1 $\rightarrow$ 4)Gal(β1 $\rightarrow$ 4)Glcβ-OCH<sub>2</sub>CH<sub>2</sub>N<sub>3</sub> с выходами 88 и 73% соответственно. После удаления *O*-защитных групп, замены *N*-трихлорацетильной группы на ацетильную и восстановления азидогруппы в агликоне синтезированные соединения были переведены в целевые 2-аминоэтил глобо-три-, -тетра- и -пентасахарид соответственно.

**Ключевые слова:** аминоэтилгликозиды, гликозилирование; гликолипиды Gb3, Gb4, Gb5; глобозиды.

### ВВЕДЕНИЕ

Гликолипиды глобо-серии (Gb) относятся к мембраноассоциированным антигенам и характеризуются наличием в их углеводных скелетах фрагмента галабиозы  $\alpha$ -*D*-Gal-(1 $\rightarrow$ 4)- $\beta$ -*D*-Gal, ответственного за их специфическую роль в процессах биологического узнавания. Глобо-олигосахаридные цепи являются, например онкомаркерами [1, 2], входят в состав Р-группоспецифических антигенов крови [3], распознаются различными бактериальными адгезинами [4].

Синтезы природных гликолипидов глобо-серии [5–8], а также других их гликозидных производных [6–12], были осуществлены в нескольких лабораториях. Также был осуществлен синтез спейсерированного производного 3-аминопропилгликозида галактозилглобозида (Gb5-цепи) [13], однако предложенная схема отличалась очень низкой стереоселективностью и, как следствие, неудовлетворительным выходом целевого продукта. В данной статье рассматривается синтез

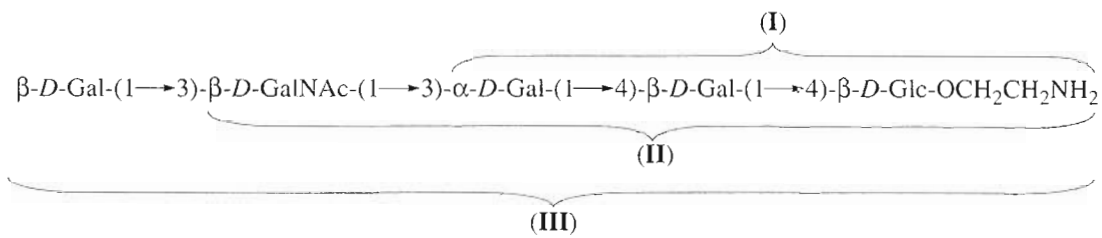
аминоэтилгликозидов глобо-три-, -тетра- и -пентасахаридов из избирательно защищенных производных лактозы, *D*-галактозы, *D*-галактозамина и дисахарида  $\beta$ -*D*-Gal-(1 $\rightarrow$ 3)-*D*-GalNAc. Целевые олигосахаридные структуры получены в спиреализованной форме для последующей конъюгации с носителями и метками.

### РЕЗУЛЬТАТЫ И ОБСУЖДЕНИЕ

Целевые олигосахаридные структуры (I), (II) и (III) (схема 1) содержат общие лактозный и  $\alpha$ -галактозный фрагменты, к которым присоединен остаток  $\beta$ -*D*-GalNAc [Gb4-цепь, структура (II)] или остаток  $\beta$ -*D*-Gal-(1 $\rightarrow$ 3)- $\beta$ -*D*-GalNAc [Gb5-цепь, структура (III)].

Синтез целевых глобо-олигосахаридов был проведен с использованием избирательно защищенного лактозного производного (XII), содержащего азидоэтильный преспейсер и свободную OH-группу при C4' для последующего введения  $\alpha$ -галактозильного остатка. Предшественником соединения (XII) служил блок (VIII), для получения которого нами были рассмотрены два пути, основанные на 3',4'- или 4',6'-*O*-изопропилиденировании лактозы (IV), показанные на схеме 2.

Сокращения: Ac – ацетил; Bn – бензил; Voc – *трем*-бутилоксикарбонил; Bz – бензоил; TsOH – толуолсульфокислота; NIS – *N*-йодсукцинид; Tf – трифторметилсульфонил.  
<sup>#</sup> Автор для переписки (тел./факс: (095) 135-87-84; эл. почта: nen@ioc.ac.ru).



**Схема 1.** Целевые аминоэтилгликозиды глобо-три-, -тетра- и -пентасахарида (I)–(III), содержащие олигосахаридные цепи гликолипидов Gb3, Gb4 и Gb5, соответственно.

3',4'-Ацетонирование по использованному на-  
ми методу [14] приводило к продукту (V) с выхо-  
дом только 43% и сопровождалось также образо-  
ванием других изопропилиденовых производных  
лактозы, для разделения которых требовалось  
применение колоночной хроматографии. Направ-  
ленное 4',6'-O-изопропилиденование лактозы по  
методу [15] по данным ТСХ протекало практиче-  
ски количественно с образованием ацетонида (VI)  
и поэтому было использовано для препаративно-  
го синтеза соединения (VIII). Получение послед-  
него включало исчерпывающее бензоилирова-  
ние гексаола (VI), удаление изопропилиденовой  
группы и региоизбирательное 6'-O-бензоилиро-  
вание диола (VII). Данная последовательность ре-  
акций приводила к производному (VIII) с общим  
выходом 70%, считая на лактозу. Наличие бензо-  
ильной группы в соединении (VIII) при O6' под-  
тверждалось более слабопольным химическим  
сдвигом сигналов протонов H<sub>6a</sub> (3.53–3.63 м.д.) и  
H<sub>6b</sub> (3.96 м.д.) остатка Gal по сравнению с сигна-  
лами этих протонов в исходном диоле (VII), нахо-  
дящимися в области 3.02–3.19 м.д. Присутствие  
свободной OH-группы подтверждалось сильно-  
польным химическим сдвигом сигнала H4 Gal  
(4.02 м.д., табл. 1).

Соединение (VIII) далее ацетилировали и пе-  
реводили в лактозилбромид (IX), гликозилиро-  
вание которым хлорэтанола в дихлорметане в  
присутствии трифлата серебра приводило к хло-  
рэтилгликозиду (X). Атом хлора в агликоне по-  
следнего замещали на азидную группу с образова-  
нием соединения (XI), в котором далее избира-  
тельно удаляли O-ацетильную группу в условиях  
кислого метанолиза [16], что приводило к моно-  
гидроксильному производному (XII) с выходом  
40%, считая на исходное (VIII).

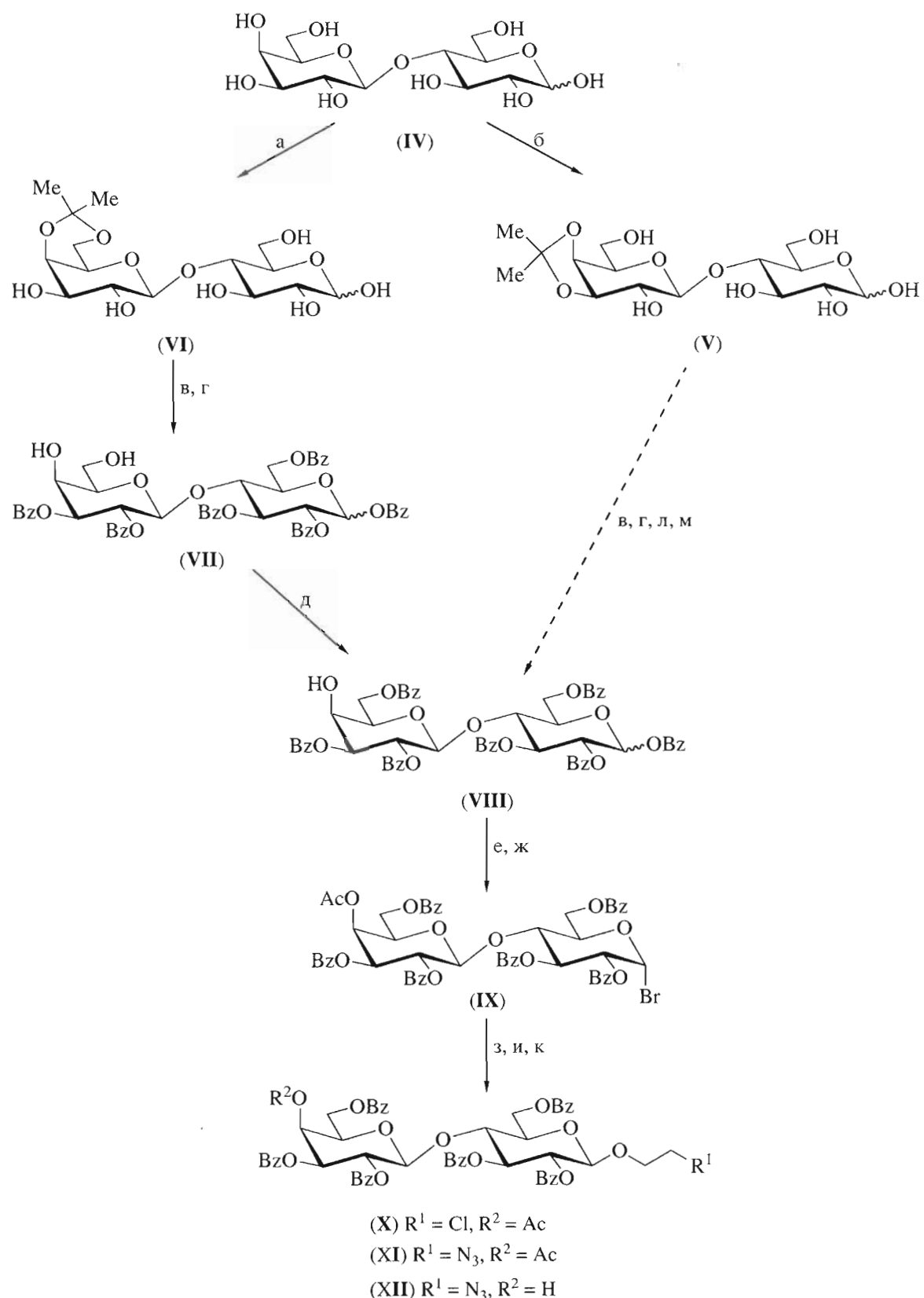
Строение соединения (XII) подтверждалось дан-  
ными спектроскопии <sup>1</sup>H- и <sup>13</sup>C-ЯМР. В частности,  
о  $\beta$ -конфигурации аномерного центра остатка  
глюкозы свидетельствовала характеристическая  
величина КССВ J<sub>1,2</sub> 7.7 Гц, а присутствие азидной  
группы при C2 агликона подтверждалось слабо-  
польным положением сигнала атома углерода  
метиленовой группы CH<sub>2</sub>N<sub>3</sub> (51.0 м.д.). Наличие  
свободной OH-группы при C4 остатка Gal под-  
тверждалось сильнопольной величиной химичес-

кого сдвига сигнала H4 Gal (4.19 м.д.) в спектре  
<sup>1</sup>H-ЯМР (табл. 1). Этот сигнал также имел допол-  
нительное расщепление в результате спин-спино-  
вого взаимодействия с протоном OH-группы.

В синтезах углеводных цепей глобозидов для  
создания 1,2-циклической связи ранее исполь-  
зовались различные типы  $\alpha$ -галактозилдоноров с  
несоучаствующей группой при C2. Применение  
гликозилбромидов [9, 10], фторидов [5], хлоридов  
[7, 8] и трихлорацетимида [6, 12] протекало с  
низкой стереоселективностью и не приводило к  
высоким выходам целевых соединений. Наибо-  
льее эффективным оказалось использование тиог-  
ликозидов [7, 11, 13], поэтому для проведения  
 $\alpha$ -галактозилирования лактозного блока (XII)  
нами были выбраны сполна бензилированный ти-  
огалактозид (XIII) [17] и его 3-O-ацетилирован-  
ный аналог (XV) (схема 3). Последний получали  
ацетилированием соответствующего моногид-  
роксильного производного (XIV) [18].

Галактозилирование лактозного акцептора (XII)  
тиогликозидом (XIII) в присутствии метилтриф-  
торметилсульфоната в дихлорметане протекало  
стереоселективно и приводило к защищенному  
производному (XVI) с выходом 85%.  $\alpha$ -Конфи-  
гурация терминального остатка галактозы в соеди-  
нении (XVI) следовала из характеристической ве-  
личины КССВ J<sub>1,2</sub> (3.8 Гц, табл. 1) для H1 остатка  
Gal $\alpha$  трисахарида (I), который получали непо-  
средственно из трисахарида (XVI). Наличие имен-  
но (1 $\rightarrow$ 4)-связывания подтверждалось слабо-  
польным положением в спектре <sup>13</sup>C-ЯМР (табл. 2)  
сигнала C4 Gal $\alpha$  (76.4 м.д.).

Трисахарид (XVI) дезациклировали действием  
раствора метилата натрия в метаноле, затем про-  
водили одновременный гидрогенолиз бензильных  
групп и восстановление азидогруппы водородом  
при катализе Pd/C в присутствии HCl. После гель-  
хроматографии целевой аминоэтилглоботриозид  
(I) был получен с общим выходом 88%. Строение  
трисахарида (I) установлено с помощью спектро-  
скопии <sup>1</sup>H- и <sup>13</sup>C-ЯМР. В частности, величины  
КССВ сигналов аномерных протонов H1 Glc ( $\delta$   
4.53 м.д., J<sub>1,2</sub> 8.0 Гц), H1 Gal $\beta$  ( $\delta$  4.49 м.д., J<sub>1,2</sub> 7.8 Гц)  
и H1 Gal $\alpha$  ( $\delta$  4.93 м.д., J<sub>1,2</sub> 3.8 Гц) (табл. 1) под-  
тверждали  $\alpha$ -конфигурацию терминального га-  
лактозного звена и  $\beta$ -конфигурацию остальных



**Схема 2.** а –  $\text{Me}_2\text{C}(\text{OMe})_2$ ,  $\text{TsOH}$ ; б –  $\text{Me}_2\text{C}(\text{OMe})_2$ ,  $\text{TsOH}$ ,  $\text{DMF}$ ; в –  $\text{BzCl}$ ,  $\text{Py}$ ; г –  $\text{CF}_3\text{COOH}$ ,  $\text{CH}_2\text{Cl}_2$ ; д –  $\text{BzCl}$ ,  $\text{CH}_2\text{Cl}_2/\text{Py}$ ; е –  $\text{Ac}_2\text{O}$ ,  $\text{Py}$ ; ж –  $\text{HBr}/\text{AcOH}$ ; з –  $\text{ClCH}_2\text{CH}_2\text{OH}$ ,  $\text{AgOTf}$ ,  $\text{CH}_2\text{Cl}_2$ ; и –  $\text{NaN}_3$ ,  $\text{DMF}$ , 18-крайн-6; к –  $\text{HCl}/\text{MeOH}$ ; л –  $\text{Bu}_2\text{SnO}$ /тоуол; м –  $\text{BzCl}/\text{Py}$ .

**Таблица 1.** Данные спектров  $^1\text{H}$ -ЯМР соединений (I)–(III) ( $\text{D}_2\text{O}$ ) и (VII), (VIII), (X)–(XII), (XV)–(XVIII), (XX), (XXII) ( $\text{CDCl}_3$ )

Соединение	Остаток	Химические сдвиги ( $\delta$ ), м.д.							КССВ ( $J$ ), Гц						
		H1	H2	H3	H4	H5	H6 <sub>a</sub>	H6 <sub>b</sub>	$J_{1,2}$	$J_{2,3}$	$J_{3,4}$	$J_{4,5}$	$J_{5,6a}$	$J_{5,6b}$	$J_{6a,6b}$
(I)	Glc $\beta$	4.53	3.36	3.66		3.62	3.82	3.98	8.0	h.o.*	h.o.	h.o.	6.3	<1	12.3
	Gal $\beta$	4.49	3.56	3.74	4.03	3.77	3.82	3.92	7.8	10.1	3.0	<1	h.o.	8.0	11.6
	Gal $\alpha$	4.93	3.83	3.88	4.01	4.33		3.69	3.8	h.o.	3.1	<1	h.o.	h.o.	h.o.
(II)	Glc $\beta$	4.54	3.37	3.66	3.62	3.84	3.85	4.00	8.0	h.o.	h.o.	h.o.	h.o.	h.o.	h.o.
	Gal $\beta$	4.51	3.58	3.75	4.92		3.70	3.91	7.8	10.2	h.o.	h.o.	h.o.	h.o.	h.o.
	Gal $\alpha$	4.91	3.85	3.96	4.24	4.37	3.73–3.82		3.8	h.o.	2.4	h.o.	h.o.		6.4
(III)	GalN	4.64	3.93	3.73	4.04	3.95	3.86	3.90	8.4	h.o.	3.0	h.o.	h.o.	h.o.	h.o.
	Glc $\beta$	4.48	3.31	3.59		3.57	3.77	3.93	8.0	8.4	h.o.	h.o.	4.6	1.9	11.2
	Gal $\beta$	4.44	3.52	3.68	3.97	3.83	h.o.	h.o.	7.8	10.1	3.3	h.o.	h.o.	h.o.	h.o.
(VII $\alpha$ )	Gal $\alpha$	4.85	3.83	3.90	4.18	4.32		3.62	3.9	h.o.	2.6	<1	h.o.	h.o.	h.o.
	Gal $\beta$	4.63	3.99	3.84	4.12	3.75	h.o.	h.o.	8.5	8.6	3.0	h.o.	h.o.	h.o.	h.o.
	Gal $\beta^{**}$	4.38	3.46	3.55	3.84	h.o.	h.o.	h.o.	7.7	9.9	3.4	h.o.	h.o.	h.o.	h.o.
(VII $\beta$ )	Glc $\beta$	6.58	5.48	6.04	4.25	3.99	4.34–4.49		3.75	9.3	h.o.	h.o.	h.o.	h.o.	h.o.
	Gal $\beta$	4.77	5.70	5.01	4.09	3.27	3.02–3.19		7.9	10.4	3.2	h.o.	h.o.	h.o.	h.o.
(VIII $\alpha$ )	Glc $\beta$	6.07	5.62	5.78	4.24	4.22	4.34–4.49		7.8	8.8	3.2	h.o.	h.o.	h.o.	h.o.
	Gal $\beta$	4.71	5.68	5.01	4.07	3.27	3.02–3.19		7.9	10.4	h.o.	h.o.	h.o.	h.o.	h.o.
(VIII $\beta$ )	Glc $\alpha$	6.62	5.48	6.04	4.24	4.00	4.37–4.46		3.4	10.2	h.o.	h.o.	h.o.	h.o.	h.o.
	Gal $\beta$	4.75	5.73	5.03	4.02	3.53–3.63	3.96		7.9	9.3	3.1	h.o.	h.o.	h.o.	h.o.
(X)	Glc $\alpha$	6.03	5.65	5.81	4.22		4.40–4.45		9.2	9.2	h.o.	h.o.	h.o.	h.o.	h.o.
	Gal $\beta$	4.69	5.71	5.03	4.02	3.53–3.63	3.96		7.9	9.3	3.1	h.o.	h.o.	h.o.	h.o.
(XI)	Glc $\beta$	4.77	5.44	5.78	4.24	3.86	4.44	4.63	7.8	9.5	9.5	9.5	4.2	<1	12.0
	Gal $\beta$	4.83	5.62	5.27	5.45	3.73–3.80			7.8	10.3	3.3	<1	h.o.	h.o.	h.o.
(XII)	Glc $\beta$	4.77	5.47	5.80	4.26	3.85	4.45	4.63	7.7	9.4	9.4	9.4	4.3	1.1	12.3
	Gal $\beta$	4.83	5.63	5.27	5.49		3.65–3.80		7.9	10.4	3.5	<1	h.o.	h.o.	h.o.
(XV)	Glc $\beta$	4.79	5.47	5.80	4.24	3.89	4.50	4.62	8.0	8.0	8.1	8.1	4.4	<1	11.6
	Gal $\beta$	4.82	5.79	5.19	4.19	3.67	3.36	4.15	8.0	10.5	3.0	<1	h.o.	h.o.	h.o.
(XVI)	Gal $\beta$	4.60	3.84	4.97	4.05	3.63	3.73	3.74	9.3	9.3	2.4	<1	h.o.	h.o.	h.o.
	Glc $\beta$	4.66	5.30	5.72	4.18	3.81	4.66	4.41	7.8	9.2	9.2	h.o.	4.4	h.o.	12.0
(XVII)	Gal $\beta$	4.82	5.66	4.98	4.23	3.63	4.48	4.10	7.8	10.8	2.7	<1	h.o.	h.o.	h.o.
	Gal $\alpha$	4.64		3.85	3.99	4.15	3.30	2.94	h.o.	h.o.	h.o.	<1	4.9	h.o.	8.4
(XVIII)	Glc $\beta$	4.75	5.41	5.83	4.26	3.93	4.48	4.70	7.5	9.0	9.0	9.0	h.o.	<1	12.3
	Gal $\beta$	4.89	5.74	5.09	4.30	3.62	4.03	4.48	7.7	10.5	2.8	<1	5.6	h.o.	11.0
(XVIII)	Gal $\alpha$	4.78	3.91	5.21	4.18	3.36	3.13	4.37	2.9	10.7	2.7	<1	5.2	h.o.	8.8
	Glc $\beta$	4.76	5.44	5.81	4.29	3.88	4.48	4.68	8.0	8.0	8.0	8.0	h.o.	h.o.	h.o.
(XX)	Gal $\beta$	4.88	5.68	5.07	4.24	3.73	4.10	4.45	7.8	10.7	2.5	<1	6.5	h.o.	11.1
	Gal $\alpha$	4.74	3.63	3.84	3.98	3.47	3.24	4.27	3.2	7.0	2.9	<1	h.o.	h.o.	h.o.
(XX)	Glc $\beta$	4.72	5.40	5.88	4.27	4.07	4.63	4.74	7.5	9.3	9.3	h.o.	h.o.	h.o.	h.o.
	Gal $\beta$	5.06	5.77	5.17	4.12	3.89	4.46	4.58	7.9	10.5	h.o.	h.o.	h.o.	h.o.	11.2
(XXII)	Gal $\alpha$	4.61	3.95	4.33	4.20	4.26	2.94	3.35	2.9	10.4	3.4	<1	h.o.	h.o.	8.3
	GalN	5.17	4.55	5.38	5.49	4.23	4.24	4.33	8.5	8.0	2.9	<1	h.o.	h.o.	h.o.
(XXII)	Glc $\beta$	4.79	5.22	5.72	4.18	h.o.	h.o.	h.o.	7.9	9.1	h.o.	h.o.	h.o.	h.o.	h.o.
	Gal $\beta$	4.88	5.60	4.96	4.17	h.o.	h.o.	h.o.	7.8	10.6	h.o.	h.o.	h.o.	h.o.	h.o.
	Gal $\alpha$	4.74	3.91	4.63	h.o.	h.o.	h.o.	h.o.	3.3	h.o.	h.o.	h.o.	h.o.	h.o.	h.o.
	GalN	5.20	3.78	h.o.	h.o.	h.o.	h.o.	h.o.	h.o.	h.o.	h.o.	h.o.	h.o.	h.o.	h.o.
	Gal $\beta^{**}$	4.05	5.10	4.90	5.27	h.o.	h.o.	h.o.	8.0	10.4	3.5	h.o.	h.o.	h.o.	h.o.

\* Не определяли.

\*\* Терминальный остаток Gal $\beta$ .

Другие сигналы:  $\text{CH}_3\text{COO}$  1.9–2.1 м.д.;  $\text{C}_6\text{H}_5\text{COO}$  7.7–8.0 м.д.;  $\text{CH}_2\text{-Ph}$  4.56 м.д.;  $\text{C}_6\text{H}_5\text{CH}_2$  6.8–7.5 м.д.;  $\text{OCH}_2\text{CH}_2\text{Cl}$  – 3.15–3.40 м.д.;  $\text{OCH}_2\text{CH}_2\text{Cl}$  – 3.50–4.00 м.д.;  $\text{OCH}_2\text{CH}_2\text{N}_3$  – 3.13–3.52 м.д.;  $\text{OCH}_2\text{CH}_2\text{N}_3$  – 3.50–3.82 м.д.;  $\text{SCH}_2\text{CH}_3$  3.67 м.д.;  $\text{SCH}_2\text{CH}_3$  1.28 м.д.;  $\text{NH}\overset{\circ}{\text{C}}(\text{O})\text{CCl}_3$  6.8 м.д. ( $J_{\text{NH},2}$  10 Гц);  $\text{OCH}_2\text{CH}_2\text{NH}_2$  – 3.26 м.д.;  $\text{OCH}_2\text{CH}_2\text{NH}_2$  – 3.94 и 4.12 м.д.

**Таблица 2.** Данные спектров  $^{13}\text{C}$ -ЯМР соединений (I)–(III) ( $\text{D}_2\text{O}$ ), (XVI), (XVII), (XX), (XXII) ( $\text{CDCl}_3$ )

Соединение	Остаток	Химические сдвиги ( $\delta$ ), м. д.					
		C1	C2	C3	C4	C5	C6
(I)	Glc $\beta$	100.9	71.8	73.3	77.6	73.8	58.9
	Gal $\beta$	102.3	69.9	71.2	76.4	74.4	59.5
	Gal $\alpha$	99.3	67.5	68.1	68.0	69.9	59.4
(II)	Glc $\beta$	103.1	74.0	75.5	79.9	76.1	61.1
	Gal $\beta$	104.5	72.1	72.0	79.9	76.6	61.6
	Gal $\alpha$	101.6	67.0	79.9	70.1	71.5	62.2
(III)	GalN	104.4	53.8	73.4	78.5	69.0	61.6
	Glc $\beta$	102.2	73.2	74.6	79.0	75.1	60.2
	Gal $\beta$	103.6	71.2	72.5	77.6	75.8	60.7
	Gal $\alpha$	100.7	67.9	79.0	69.3	70.6	60.7
	GalN	103.2	51.8	79.9	68.3	74.9	61.3
(XVI)	Gal $\beta^{**}$	105.1	70.9	72.8	68.9	75.3	61.3
	Glc $\beta$	100.8	72.2	73.0	76.3	73.3	62.5
	Gal $\beta$	101.1	69.9	74.4	75.8	73.4	62.4
(XVII)	Gal $\alpha$	101.2	75.6		74.9	69.8	67.5
	Glc $\beta$	100.4	н.о.*	н.о.	75.9	н.о.	62.3
	Gal $\beta$	100.8	н.о.	н.о.	75.4	н.о.	62.1
(XX)	Gal $\alpha$	101.2	н.о.	н.о.	75.1	н.о.	67.2
	Glc $\beta$	100.9	н.о.	н.о.	76.1	н.о.	62.7
	Gal $\beta$	100.0	64.9	н.о.	н.о.	н.о.	62.4
(XXII)	Gal $\alpha$	100.4	н.о.	80.8	70.9	70.1	67.4
	GalN	103.0	52.8	71.2	66.8	77.3	61.4
	Glc $\beta$	100.4	н.о.	н.о.	н.о.	н.о.	62.2
	Gal $\beta$	101.0	н.о.	н.о.	н.о.	н.о.	61.2
	Gal $\alpha$	100.4	н.о.	79.9	н.о.	н.о.	66.7
(XXII)	GalN	101.0	53.0	н.о.	н.о.	н.о.	60.7
	Gal $\beta^{**}$	101.2	н.о.	н.о.	н.о.	н.о.	60.0

\* Не определяли.

\*\* Терминальный остаток Gal $\beta$ .Другие сигналы:  $\text{OCH}_2\text{CH}_2\text{NH}_2$  – 64.8 м.д.;  $\text{OCH}_2\text{CH}_2\text{NH}_2$  – 38.4 м.д.;  $\text{CH}_3\text{CONH}$  – 22.6 м.д.;  $\text{CH}_3\text{CONH}$  – 175.5 м.д.;  $\text{CH}_2\text{N}_3$  – 51.0 м.д.;  $\text{OCH}_2\text{CH}_2\text{N}_3$  – 68.1–68.2 м.д.;  $\text{OCOCl}_3$  – 159.5–161.6 м.д.

двух моносахаридных остатков. Положение сигнала атома углерода  $-\text{CH}_2\text{N}$  в агликоне (I) (38.4 м.д.) по сравнению с таковым в (XVI) (51.0 м.д., табл. 2) свидетельствовало о превращении азидогруппы в аминогруппу.

Как и в случае галактозилирования акцептора (XII) тиогликозидом (XIII), конденсация соединений (XII) и (XV) в присутствии метилтрифторометилсульфоната в дихлорметане протекала стереоселективно и приводила к избирательно  $3''$ -*O*-ацетилированному производному (XVII) с выходом 83% (схема 3). Наличие  $\alpha$ -(1→4)-связи в этом соединении подтверждалось характерной величиной КССВ  $J_{1,2}$  (2.9 Гц) (табл. 1) и слabo-

польным положением сигнала C4 (75.4 м.д.) в остатке Gal $\alpha$ .

В условиях кислого метанолиза [16] ацетат (XVII) переводили в моногидроксильное производное (XVIII) с выходом 81% (схема 3). Положение свободной OH-группы при C3 терминального галактозного остатка в последнем подтверждалось смещением сигнала протона H3 Gal $\alpha$  в более сильное поле на 1.34 м.д. ( $\delta$  5.21→3.84 м.д.) в спектре  $^1\text{H}$ -ЯМР соединения (XVIII) по сравнению с (XVII) (табл. 1).

Гликозилированием трисахарида (XVIII) тиогликозидом (XIX) [19] в дихлорметане в присутствии *N*-йодсукцинида и трифторметансульфокислоты получили тетрасахарид (XX) с выходом

88% (схема 3).  $\alpha$ -Конфигурация галактозамино-вого остатка в последнем подтверждалась характерной величиной соответствующей КССВ  $J_{1,2}$  (8.5 Гц) в спектре  $^1\text{H}$ -ЯМР (табл. 1), а наличие связи GalN-(1→3)-Gal – слабопольным положением в спектре  $^{13}\text{C}$ -ЯМР сигнала C3 GalN (80.8 м.д.) (табл. 2).

Для превращения соединения (XX) в целевой тетрасахарид (II) сначала проводили удаление всех ацильных групп обработкой 0.5 М раствором NaOH в водном метаноле с последующим *N*-ацетилированием образующейся свободной аминогруппы в остатке галактозамина уксусным ангидридом. Гидрогенолиз бензиловых эфиров и восстановление азидогруппы проводили в 10%-ном водном этаноле при катализе Pd/C в присутствии  $\text{Boc}_2\text{O}$  для связывания образующегося в реакции амина. При проведении гидрогенолиза в присутствии HCl (без добавления  $\text{Boc}_2\text{O}$ ), т.е. в условиях, примененных нами при получении трисахарида (I), полностью удалить бензильные группы не удается, что, по-видимому, связано с частичным отравлением катализатора образующимся амином. После удаления  $\text{Boc}$ -защиты с аминогруппы действием трифтормуксусной кислоты в водном метаноле был получен аминоэтилглюкотетраозид (III) с общим выходом 54%, считая на исходный (XX). Строение соединения (III), в частности конфигурации аномерных центров, направления межзвеньевых связей и наличие аминоэтильного агликона ( $\delta\text{CH}_2\text{NH}_2$  38.4 м.д.), подтверждено данными спектров  $^1\text{H}$ - (табл. 1) и  $^{13}\text{C}$ -ЯМР (табл. 2).

Для получения целевого пентасахарида (III) нами проведено гликозилирование дисахаридным тиогликозидом (XXI) [19] трисахарида (XVIII) в условиях синтеза тетрасахарида (XX). В результате был получен пентасахарид (XXII) с выходом 73% (схема 3).  $\beta$ -Конфигурация галактозаминового остатка в последнем подтверждалась характерной величиной КССВ  $J_{1,2}$  (8.5 Гц), а наличие связи GalN-(1→3)-Gal – слабопольным положением в спектре  $^{13}\text{C}$ -ЯМР сигнала C3 Gal $\alpha$  при 79.9 м.д.

Отметим, что в проводившихся ранее синтезах производных пентасахарида Gb5 использовались гликозилдоноры трихлорацетимидатного типа на основе *N*-фталоилированного дисахарида  $\beta$ -D-Gal-(1→3)-D-GalN [8, 13]. Однако гликозилирование ими производных трисахарида Gb3 протекало значительно менее эффективно, чем в проведенном нами синтезе пентасахарида (XXII), что было связано с низкой стереоселективностью реакции [13] и побочной перегруппировкой гликозилимидата в соответствующий гликозиламид [8]. Высокая эффективность гликозилдонора (XXI) недавно продемонстрирована нами на примере успешного синтеза производного тетрасахарида асиало-GM1 [19].

Омыление сложноэфирных групп в пентасахариде (XXII) проводили в 1 М растворе NaOH в водном метаноле (10% воды), а *N*-ацетилирова-

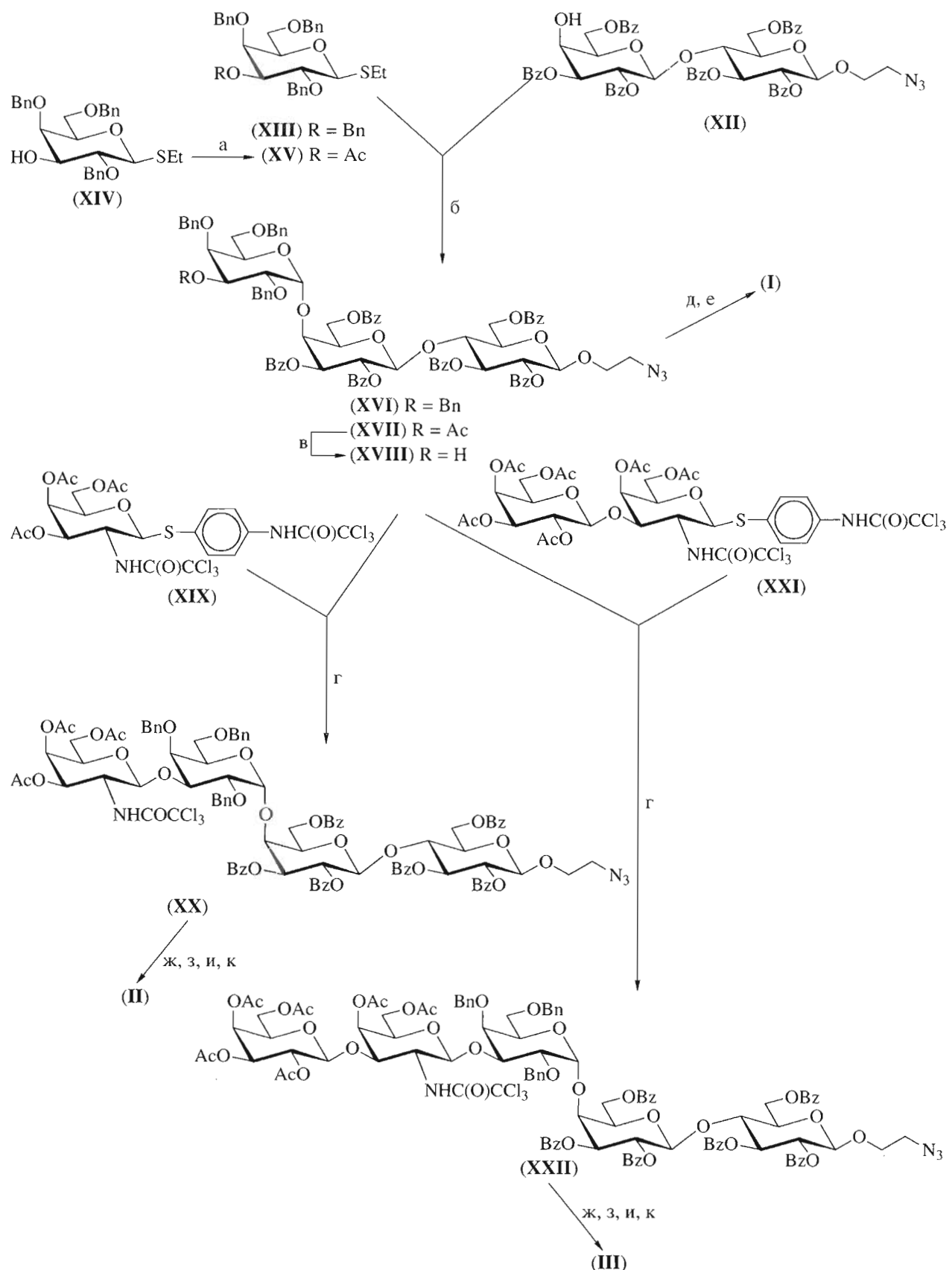
ние, гидрогенолиз и выделение с помощью гель-фильтрации – в условиях, аналогичных для превращения защищенного тетрасахарида (XX) в целевой (II). В результате был получен свободный аминоэтилпентаозид (III) с общим выходом 86%, считая на (XXII). Строение (III) подтверждалось данными спектров  $^1\text{H}$ - и  $^{13}\text{C}$ -ЯМР (табл. 1 и 2) как описано выше для соединений (I) и (II).

Таким образом, синтезированы олигосахаридные цепи гликолипидов Gb3, Gb4 и Gb5 в виде аминоэтилгликозидов. Продемонстрирована эффективность синтетической схемы, использующей разбиение целевых структур на  $\beta$ -D-Gal-(1→4)-D-Glc,  $\alpha$ -D-Gal,  $\beta$ -D-GalNAc и  $\beta$ -D-Gal-(1→3)-D-GalNAc-блоки, а также эффективность использования тиогликозидных гликозилдоноров типа (XIX) и (XXI) для получения олигосахаридных цепей глюкозидов.

## ЭКСПЕРИМЕНТАЛЬНАЯ ЧАСТЬ

Методики очистки растворителей и реагентов, условия съемки спектров ЯМР и определения физико-химических констант аналогичны описанным в работе [20]. Спектры  $^1\text{H}$ - и  $^{13}\text{C}$ -ЯМР регистрировали на приборах Bruker DRX-500 и Bruker AM-300 при 25°C. Оптическое вращение измеряли на цифровом поляриметре Jasco DIP-360 при 18–25°C. Хроматографию в тонком слое проводили на пластинках с силикагелем Kieselgel-60 (Merck), вещества обнаруживали обработкой 10% (об.) раствором ортофосфорной кислоты в этиловом спирте или (для аминов) раствором нингидрина (3 г/л в смеси бутанол/уксусная кислота, 30 : 1) с последующим нагреванием при ~150°C. Колоночную хроматографию выполняли на силикагеле Silica gel 60 (Fluka) 0.063–0.2 мм, хроматографию MPLC – на колонках с силикагелем Silasorb 600 (20 мкм, Chemapol). Гель-хроматографию проводили на колонках Sephadex LH-20 (2 × 40 см) при элюировании метанолом со скоростью потока 1 мл/мин, Sephadex G-10 (1.5 × 20 см) при элюировании водой со скоростью потока 2 мл/мин и TSK-HW40s (1.5 × 90 см) при элюировании 0.1 М водной уксусной кислотой со скоростью потока 1 мл/мин. Гидрогенолиз осуществляли над 10% Pd/C (Merck) при атмосферном давлении. ТСХ свободных аминоэтилгликозидов проводили в смесях элюотропных систем БПС (бутанол–пропанол–0.1 М соляная кислота, 1 : 2 : 1) и AMB (ацетонитрил–метанол–вода, 1 : 1 : 1).

**4-O-(3,4-O-Изопропилен- $\beta$ -D-галактопиранозил)- $\alpha$ , $\beta$ -D-глюкопираноза (V).** Суспензию лактозы (18 г, 52.7 ммоль) и TsOH ·  $\text{H}_2\text{O}$  (180 мг, 0.915 ммоль) в 2,2-диметоксипропане (10 мл) и DMF (50 мл) перемешивали 1 ч при 70°C. Прибавляли триэтиламин (3 мл), концентрировали на роторном испарителе и колоночной хроматографией при элюировании смесью метанол–хлороформ, 1 : 2,



**Схема 3.** а – Ac<sub>2</sub>O/Py; б – MeOTf, CH<sub>2</sub>Cl<sub>2</sub>, MS-4 Å; в – HCl/MeOH; г – NIS/TfOH, CH<sub>2</sub>Cl<sub>2</sub>; д – MeONa, MeOH; е – H<sub>2</sub>, Pd/C, HCl; ж – NaOH, MeOH/H<sub>2</sub>O; з – Ac<sub>2</sub>O, NaOH; и – H<sub>2</sub>, Pd/C, Boc<sub>2</sub>O; к – CF<sub>3</sub>COOH, H<sub>2</sub>O/MeOH.

выделяли 9.6 г 3,4-ацетонида (V), выход 43%,  $R_f$  0.25 (метанол–хлороформ, 1 : 2).

**1,2,3,6-Тетра-*O*-бензоил-4-*O*-(2,3-ди-*O*-бензоил- $\beta$ -D-галактопиранозил)- $\alpha$ , $\beta$ -D-глюкопираноза (VII).** Суспензию 3.2 г (9.36 ммоль) лактозы и 210 мг (1.1 ммоль) TsOH · H<sub>2</sub>O в 2,2-диметокси-пропане (3 мл) перемешивали 2 ч при 20°C до полного растворения и образования ацетонида (VI), прибавляли триэтиламин (3 мл) и упаривали. Остаток суспендировали в 30 мл (370 ммоль) сухого пиридина и при интенсивном перемешивании и охлаждении до 0°C в течение 10 мин прибавляли 20 мл (172 ммоль) бензоилхлорида. Реакционную смесь перемешивали 3 ч при 20°C, выливали на лед и разбавляли дихлорметаном (500 мл). Органический слой отделяли, промывали 1 М H<sub>2</sub>SO<sub>4</sub> (400 мл), водой (2 × 400 мл) и насыщенным раствором NaHCO<sub>3</sub> (200 мл), фильтровали через слой ваты и упаривали. Сухой остаток растворяли в смеси дихлорметана (80 мл) и 90% трифторуксусной кислоты (10 мл), выдерживали 30 мин при 20°C, упаривали, соупаривали с толуолом (5 × 50 мл) и колоночной хроматографией (толуол–этилацетат, 3 : 1) выделяли 5.67 г (63%) диола (VII),  $R_f$  0.21 (толуол–этилацетат, 3 : 1). Спектр <sup>1</sup>Н-ЯМР см. табл. 1.

**1,2,3,6-Тетра-*O*-бензоил-4-*O*-(2,3,6-три-*O*-бензоил- $\beta$ -D-галактопиранозил)- $\alpha$ , $\beta$ -D-глюкопираноза (VIII).** К охлажденному до 0°C раствору 5.67 г (5.9 ммоль) диола (VII) в смеси сухого дихлорметана (66 мл) и 1.4 мл (17.3 ммоль) сухого пиридина при интенсивном перемешивании в течение 10 мин прибавляли 750 мкл (6.5 ммоль) бензоилхлорида. Реакционную смесь перемешивали 2 ч при 0°C и разбавляли дихлорметаном (500 мл) и водой (10 мл). Далее обрабатывали как описано для (VII). Колоночной хроматографией (толуол–этилацетат, 10 : 1) выделяли 4.24 г (70%) продукта (VIII),  $R_f$  0.31 (толуол–этилацетат, 10 : 1). Найдено, %: C 68.54, H 4.68. C<sub>61</sub>H<sub>50</sub>O<sub>18</sub>. Вычислено, %: C 68.41, H 4.67. Спектр <sup>1</sup>Н-ЯМР см. табл. 1.

**4-*O*-(4-*O*-Ацетил-2,3,6-три-*O*-бензоил- $\beta$ -D-галактопиранозил)-2,3,6-три-*O*-бензоил- $\alpha$ -D-глюкопиранозилбромид (IX).** 4.24 г (4.13 ммоль) соединения (VIII) ацетилировали уксусным ангидридом (6 мл, 64 ммоль) в 9 мл (110 ммоль) сухого пиридина в течение 18 ч при 20°C, упаривали, соупаривали с толуолом (3 × 50 мл), растворяли в сухом дихлорметане (9.5 мл) и при –10°C и интенсивном перемешивании прибавляли 40% раствор HBr в AcOH (18.5 мл). Реакционную смесь выдерживали без перемешивания 40 мин при –10°C, выливали на лед и разбавляли дихлорметаном (400 мл). Органический слой отделяли, промывали ледяной водой (300 мл), холодным насыщенным раствором NaHCO<sub>3</sub> (2 × 150 мл) и ледяной водой (150 мл), фильтровали через слой ваты и упаривали. Остаток сушили в вакууме масляного насоса и получали 4.21 г (99%) бромида (IX), белая пена,  $R_f$  0.42 (толуол–этилацетат, 10 : 1).

**(2-Хлорэтил)-4-*O*-(4-*O*-ацетил-2,3,6-три-*O*-бензоил- $\beta$ -D-галактопиранозил)-2,3,6-три-*O*-бензоил- $\beta$ -D-глюкопиранозид (X).** Раствор 6.53 г (6.1 ммоль) лактозилбромида (IX) в смеси сухого 2-хлорэтанола (6.4 мл, 95 ммоль) и сухого дихлорметана (64 мл) перемешивали в атмосфере аргона с предварительно прокаленными молекулярными ситами MS-4 Å (200 мг) 30 мин при 20°C, затем прибавляли 1.87 г (7.3 ммоль) трифлата серебра и перемешивали еще 1 ч при 20°C. К реакционной смеси прибавляли 3 мл триэтиламина, разбавляли дихлорметаном (350 мл) и органический слой промывали 1 M раствором Na<sub>2</sub>S<sub>2</sub>O<sub>3</sub> (2 × 50 мл), насыщенным раствором NaHCO<sub>3</sub> (2 × 150 мл), водой (200 мл) и упаривали. Остаток хроматографировали на колонке с силикагелем в системе толуол–ацетон, 30 : 1, и получали 6.35 г (91%) гликозида (X), белая пена,  $R_f$  0.4 (толуол–этилацетат, 8 : 1), [α]<sub>D</sub> +36.5° (c 1, этилацетат). Найдено, %: C 64.85, H 4.79. C<sub>58</sub>H<sub>50</sub>O<sub>18</sub>Cl. Вычислено, %: C 65.02, H 4.77. Спектр <sup>1</sup>Н-ЯМР см. табл. 1.

**(2-Азидоэтил)-4-*O*-(4-*O*-ацетил-2,3,6-три-*O*-бензоил- $\beta$ -D-галактопиранозил)-2,3,6-три-*O*-бензоил- $\beta$ -D-глюкопиранозид (XI).** Суспензию 297 мг (4.57 ммоль) NaN<sub>3</sub> в растворе 490 мг (0.457 ммоль) хлорэтилгликозида (X) и 120 мг (0.45 ммоль) 18-краун-6 в DMF (2.5 мл) перемешивали в течение 22 ч при 65°C. Смесь разбавляли этилацетатом (150 мл), промывали водой (4 × 50 мл), фильтровали через слой ваты, упаривали и из остатка колоночной хроматографии в системе толуол–этилацетат, 15 : 1, выделяли 427 мг (86%) азида (XI), белая пена,  $R_f$  0.27 (толуол–этилацетат, 8 : 1), [α]<sub>D</sub> +34° (c 1, этилацетат). Найдено, %: C 64.63, H 4.77, N 3.90. C<sub>58</sub>H<sub>51</sub>O<sub>18</sub>N<sub>3</sub>. Вычислено, %: C 64.62, H 4.77, N 3.90. Спектр <sup>1</sup>Н-ЯМР см. табл. 1.

**(2-Азидоэтил)-4-*O*-(2,3,6-три-*O*-бензоил- $\beta$ -D-галактопиранозил)-2,3,6-три-*O*-бензоил- $\beta$ -D-глюкопиранозид (XII).** 165 мкл (2.3 ммоль) ацетилхлорида прибавляли к 4.14 мл абсолютного метанола при 0°C и выдерживали в течение 10 мин. К полученному раствору прибавляли раствор 402 мг (0.373 ммоль) ацетата (XI) в сухом дихлорметане (2.4 мл) и смесь выдерживали при 20°C в течение 60 ч. Выливали на лед, разбавляли дихлорметаном (150 мл), органический слой отделяли и промывали насыщенным раствором NaHCO<sub>3</sub> (50 мл), водой (50 мл) и упаривали. Из остатка колоночной хроматографии в системе толуол–ацетон, 20 : 1, выделяли 197 мг (51%) спирта (XII), белая пена,  $R_f$  0.15 (толуол–этилацетат, 8 : 1), [α]<sub>D</sub> +58° (c 1, этилацетат). Найдено, %: C 64.86, H 4.68, N 4.05. C<sub>56</sub>H<sub>48</sub>O<sub>17</sub>N<sub>3</sub>. Вычислено, %: C 64.98, H 4.67, N 4.06. Спектр <sup>1</sup>Н-ЯМР см. табл. 1.

**Этил-3-*O*-ацетил-2,4,6-три-*O*-бензил-1-тио- $\beta$ -D-галактопиранозид (XV).** К раствору 0.5 г (1.01 ммоль) спирта (XIV) [18] в сухом пиридине (5 мл) прибавляли 3 мл (31 ммоль) уксусного ангидрида, выдерживали 12 ч при 20°C, избыток Ac<sub>2</sub>O разлагали метанолом (10 мл), упаривали и

соупаривали с толуолом ( $3 \times 20$  мл). Сухой остаток профильтровывали через слой силикагеля в системе толуол–этилацетат, 12 : 1, упаривали и сушили в вакууме масляного насоса. Выделяли 0.5 г (92%) ацетата (XV), белая пена,  $R_f$  0.3 (толуол–этилацетат, 12 : 1),  $[\alpha]_D + 25.7^\circ$  ( $c$  0.63,  $\text{CHCl}_3$ ).

**(2-Азиоэтил)-4-O-[4-O-(2,3,4,6-тетра-O-бензил- $\alpha$ -D-галактопиранозил)-2,3,6-три-O-бензоил- $\beta$ -D-галактопиранозил]-2,3,6-три-O-бензоил- $\beta$ -D-глюкопиранозид (XVI).** Раствор 405 мг (0.388 ммоль) гликозилакцептора (XII) и 575.7 мг (0.985 ммоль) тиогалактозида (XIII) в абсолютном дихлорметане (35 мл) перемешивали с прокалеными молекулярными ситами MS-4A (6.6 г) в атмосфере аргона в течение 30 мин при  $20^\circ\text{C}$ , прибавляли 540 мкл (4.78 ммоль) метилтрифлата и перемешивали еще 30 мин. К реакционной смеси прибавляли 2 мл триэтиламина, фильтровали, фильтрат разбавляли дихлорметаном (150 мл), промывали насыщенным раствором  $\text{NaHCO}_3$  ( $2 \times 50$  мл) и водой (100 мл). Органический слой отделяли, упаривали и из остатка колоночной хроматографией (толуол–этилацетат, 12 : 1) выделяли 517 мг (85%) трисахарида (XVI), белая пена,  $R_f$  0.48 (толуол–этилацетат, 8 : 1),  $[\alpha]_D + 55.5^\circ$  ( $c$  1, этилацетат). Найдено, %: C 69.51, H 5.36, N 2.69.  $\text{C}_{90}\text{H}_{83}\text{O}_{22}\text{N}_3$ . Вычислено, %: C 69.35, H 5.36, N 2.69. Спектр  $^1\text{H}$  ЯМР см. табл. 1.

**(2-Азиоэтил)-4-O-[4-O-(4-O-ацетил-2,3,6-три-O-бензил- $\alpha$ -D-галактопиранозил)-2,3,6-три-O-бензоил- $\beta$ -D-галактопиранозил]-2,3,6-три-O-бензоил- $\beta$ -D-глюкопиранозид (XVII).** Реакцию 360 мг (0.347 ммоль) гликозилакцептора (XII) и 466 мг (0.868 ммоль) тиогалактозида (XV) проводили и обрабатывали аналогично описанному для получения продукта (XVI). Колоночной хроматографией в системе петролейный эфир–этилацетат, 3 : 1, выделяли 580 мг (83%) гликозида (XVII), белая пена,  $R_f$  0.28 (петролейный эфир–этилацетат, 2 : 1),  $[\alpha]_D + 61^\circ$  ( $c$  1, этилацетат). Найдено, %: C 67.58, H 5.32, N 2.78.  $\text{C}_{85}\text{H}_{80}\text{O}_{23}\text{N}_3$ . Вычислено, %: C 67.60, H 5.33, N 2.78. Спектр  $^1\text{H}$ -ЯМР см. табл. 1.

**(2-Азиоэтил)-4-O-[4-O-(2,3,6-три-O-бензил- $\alpha$ -D-галактопиранозил)-2,3,6-три-O-бензоил- $\beta$ -D-галактопиранозил]-2,3,6-три-O-бензоил- $\beta$ -D-глюкопиранозид (XVIII).** Раствор 101 мг (0.069 ммоль) ацетата (XVII) в сухом дихлорметане (0.5 мл) прибавляли к раствору  $\text{HCl}$  в метаноле, полученному при прибавлении 40 мкл (0.56 ммоль) ацетилхлорида к 1.0 мл абсолютного метанола. Далее обрабатывали как описано для соединения (XII). Колоночной хроматографией (толуол–ацетон, 20 : 1) выделяли 82 мг (81%) спирта (XVIII), белая пена,  $R_f$  0.33 (петролейный эфир–этилацетат, 3 : 1),  $[\alpha]_D + 55^\circ$  ( $c$  1, этилацетат). Найдено, %: C 67.92, H 5.29, N 2.86.  $\text{C}_{83}\text{H}_{77}\text{O}_{22}\text{N}_3$ . Вычислено, %: C 67.89, H 5.28, N 2.86. Спектр  $^1\text{H}$ -ЯМР см. табл. 1.

**(2-Азиоэтил)-(3,4,6-три-O-ацетил-2-дезокси-2-трихлорацетамидо- $\beta$ -D-галактопиранозил)-(1→**

**→3)-(2,4,6-три-O-бензил- $\alpha$ -D-галактопиранозил)-(1→4)-(2,3,6-три-O-бензоил- $\beta$ -D-галактопиранозил)-(1→4)-2,3,6-три-O-бензоил- $\beta$ -D-глюкопиранозид (XX).** Раствор 50 мг (0.034 ммоль) трисахарида (XVIII) и 29 мг (0.041 ммоль) гликозилдонора (XIX) [19] в абсолютном дихлорметане (2.5 мл) перемешивали с предварительно прокаленными молекулярными ситами MS-4 Å (200 мг) в течение 2 ч при  $20^\circ\text{C}$ . Прибавляли 10 мг (0.044 ммоль) NIS и перемешивали еще 20 мин при  $20^\circ\text{C}$ , реакционную смесь охлаждали до  $-30^\circ\text{C}$  и прибавляли по каплям 100 мкл 5%  $\text{TfOH}$  в  $\text{CH}_2\text{Cl}_2$ . Перемешивали 1.5 ч при  $-30\text{...}-20^\circ\text{C}$ , прибавляли насыщенный раствор  $\text{NaHCO}_3$  (1 мл) и 1 М раствор  $\text{Na}_2\text{S}_2\text{O}_3$  (1 мл), перемешивали 10 мин, фильтровали через слой целита. Фильтрат разбавляли дихлорметаном (75 мл), промывали насыщенным раствором  $\text{NaHCO}_3$  (50 мл), органическую фазу отделяли, упаривали и из остатка колоночной хроматографией в градиенте дихлорметан–этилацетат (10 : 1 → 5 : 1) выделяли 57 мг (88%) тетрасахарида (XX), белая пена,  $R_f$  0.5 (толуол–этилацетат, 5 : 1). Спектр  $^1\text{H}$ -ЯМР см. табл. 1.

**(2-Азиоэтил)-(2,3,4,6-тетра-O-ацетил- $\beta$ -D-галактопиранозил)-(1→3)-(4,6-ди-O-ацетил-2-дезокси-2-трихлорацетамидо- $\beta$ -D-галактопиранозил)-(1→3)-(2,4,6-три-O-бензил- $\alpha$ -D-галактопиранозил)-(1→4)-(2,3,6-три-O-бензоил- $\beta$ -D-галактопиранозил)-(1→4)-2,3,6-три-O-бензоил- $\beta$ -D-глюкопиранозид (XXI).** Раствор 60 мг (0.041 ммоль) трисахарида (XVIII) и 44 мг (0.044 ммоль) гликозилдонора (XXI) в абсолютном дихлорметане (3 мл) перемешивали в атмосфере сухого аргона в течение 2 ч при  $20^\circ\text{C}$  с предварительно прокаленными молекулярными ситами MS-4 Å (200 мг). Прибавляли 13 мг (0.058 ммоль) NIS и перемешивали еще 20 мин при  $20^\circ\text{C}$ . Реакционную смесь охлаждали до  $-30^\circ\text{C}$  при этой же температуре прибавляли по каплям 200 мкл 5%-ного раствора  $\text{TfOH}$  в  $\text{CH}_2\text{Cl}_2$  и перемешивали 2 ч при  $-30\text{...}-20^\circ\text{C}$ . Обрабатывали и хроматографировали аналогично описанному для (XX). Выделяли 65 мг (73%) пентасахарида (XXII), белая пена,  $R_f$  0.43 (дихлорметан–этилацетат, 5 : 1),  $[\alpha]_D + 75.7^\circ$  ( $c$  0.5,  $\text{CHCl}_3$ ). Спектр  $^1\text{H}$ -ЯМР см. табл. 1.

**(2-Аминоэтил)- $\alpha$ -D-галактопиранозил-(1→4)- $\beta$ -D-галактопиранозил-(1→4)- $\alpha$ -D-глюкопиранозид (I).** 180.4 мг (0.116 ммоль) трисахарида (XVI) растворяли в сухом метаноле (3 мл) и обрабатывали 0.3 мл 1 М раствора метилата натрия в метаноле. Через 20 мин раствор нейтрализовали катионитом КУ-2 ( $\text{H}^+$ ), фильтровали, катионит промывали метанолом ( $2 \times 5$  мл), фильтраты объединяли, упаривали и из остатка колоночной хроматографией в этилацетате выделяли 88.5 мг гексаола, продукта  $O$ -дебензоилирования трисахарида (XV). Последний растворяли в 2 мл абсолютного метанола, прибавляли раствор  $\text{HCl}$  в метаноле (получен при смешении 0.12 мл (1.7 ммоль)

ацетилхлорида с 3 мл абсолютного метанола с последующим выдерживанием в течение 20 мин при 20°C, 115 мг Pd/C и перемешивали 1 ч в атмосфере водорода. К реакционной смеси прибавляли 2 мл триэтиламина, фильтровали через слой це- лита, упаривали, растворяли в 5 мл воды и обра- батывали анионитом A-26 (Serva) в OH<sup>-</sup>-форме. Анионит отфильтровывали, промывали 1 мл во- ды, объединенные фильтраты концентрировали на роторном испарителе и из остатка хроматографией на колонке с гелем TSK-HW40s выделяли 58 мг (87%) трисахарида (I),  $R_f$  0.32 (БПС-AMB, 3 : 2),  $[\alpha]_D + 76^\circ$  (с 2, вода). Спектры <sup>1</sup>H- и <sup>13</sup>C-ЯМР см. табл. 1 и 2.

**(2-Аминоэтил)-(2-ацетамидо-2-дезокси-β-D-га- лактопиранозил)-(1→3)-α-D-галактопиранозил-(1→4)-β-D-галактопиранозил-(1→4)-β-D-глюко- пиранозид (II).** 53 мг (0.028 ммоль) тетрасахарида (XX) растворяли в 5% водном метаноле (4 мл), добавляли NaOH (80 мг), перемешивали до полного растворения и выдерживали 17 ч при 20°C. При охлаждении до 0°C по каплям прибавляли Ac<sub>2</sub>O до pH 6 (контроль по универсальному pH-индика- тору, Merck), деионизовали катионитом КУ-2 (H<sup>+</sup>), катионит отфильтровывали, промывали ме- танолом (2 × 3 мл), фильтраты объединяли, упа- ривали и остаток хроматографировали на колон- ке с гелем Sephadex LH-20. Углеводсодержащие фракции упаривали, высушивали в вакууме мас- ляного насоса, сухой остаток растворяли в 10% водном этаноле (3 мл), добавляли Вос<sub>2</sub>O (60 мг), катализитическое количество Pd/C и перемешива- ли 14 ч в атмосфере водорода при 20°C до полно- го удаления бензильных защит (контроль ТСХ). Реакционную смесь фильтровали через слой це- лита, фильтрат промывали водным метанолом в градиенте метанол/вода: 100–0% (30 мл), добавля- ли 90%-ную водную CF<sub>3</sub>COOH (2 мл), выдерживали 30 мин, упаривали и соупаривали с водой до удаления кислоты. Из остатка хроматографией на колонке с гелем TSK-HW40s выделяли 13 мг (54%) аминоэтилгликозида (II) (в виде трифтора- цетата),  $R_f$  0.21 (БПС-AMB, 1 : 1). Спектры <sup>1</sup>H- и <sup>13</sup>C-ЯМР см. табл. 1 и 2.

**(2-Аминоэтил)-β-D-галактопиранозил-(1→3)- (2-ацетамидо-2-дезокси-β-D-галактопиранозил)- (1→3)-α-D-галактопиранозил-(1→4)-β-D-галак- топиранозил-(1→4)-β-D-глюкопиранозид (III).** К раствору 42 мг (0.019 ммоль) пентасахарида (XXII) в 4.4 мл 10%-ного водн. метанола добавля- ли NaOH (170 мг), перемешивали до полного рас- творения и выдерживали 2 ч при 40°C, а затем 14 ч при 20°C. Далее подвергали N-ацетилирова- нию, гидрогенолизу и восстановлению (включая промежуточную защиту аминогруппы Вос<sub>2</sub>O), а затем очистке аналогично описанному для тетра- сахарида (II). Выделяли 15 мг (86%) аминоэтилг-

ликозида (III) (в виде трифторацетата),  $R_f$  0.23 (БПС-AMB, 1 : 1). Спектры <sup>1</sup>H- и <sup>13</sup>C-ЯМР см. табл. 1 и 2.

Работа выполнена при финансовой поддержке Российского фонда фундаментальных исследова- ний (гранты № 00-0332815а и 02-03-06588-МАС), Фонда содействия отечественной науке и Между- народной Соросовской программы в области точ- ных наук.

## СПИСОК ЛИТЕРАТУРЫ

1. Kannagi R., Levery S.B., Ishingami F., Hakomori S.-I., Slevinsky L.H., Knowles B.B., Solter D. // J. Biol. Chem. 1983. V. 258. P. 8934–8942.
2. Ohyama C., Orikasa S., Kawamura S., Satoh M., Saito S., Fukushi Y., Hakomori S., Levery S.B. // Cancer. 1995. V. 76. P. 1043–1050.
3. Naiki M., Marcus D.M. // Biochemistry. 1975. V. 14. P. 4837–4841.
4. Normark S., Baga M., Goransson M., Lindberg F.P., Lund B., Norgren M., Uhlin B.-E. // Microbial Lectines and Agglutinins / Ed. Mirelman D. New York: Wiley, 1986. P. 113–143.
5. Nicolau K.C., Caulfield T., Kataoka H., Kumazawa T. // J. Am. Chem Soc. 1988. V. 110. P. 7910–7912.
6. Qui D., Schmidt R.R. // Liebigs Ann. Chem. 1992. P. 217–224.
7. Koike K., Sugimoto M., Sato S., Ito Y., Nakahara Y., Ogawa T. // Carbohydr. Res. 1987. V. 163. P. 189–208.
8. Nunomura S., Ogawa T. // Tetrahedron Lett. 1988. V. 29. P. 5681–5684.
9. Paulsen H., Bunsch A. // Carbohydr. Res. 1982. V. 101. P. 21–30.
10. Leontine K., Nilsson M., Norberg T. // Carbohydr. Res. 1985. V. 144. P. 231–240.
11. Ishida H., Miyawaki R., Kiso M., Hasegawa A. // J. Carbohydr. Chem. 1996. V. 15. P. 163–182.
12. Lassalle J.M., Carlsson K., Garegg P.J., Schmidt R.R. // J. Org. Chem. 1996. V. 61. P. 6873–6880.
13. Zou W., Brisson J.-R., Laroque S., Gardner R.L., Jennings H.J. // Carbohydr. Res. 1999. V. 315. P. 251–261.
14. Baer H.H., Saeed A.A. // Carbohydr. Res. 1980. V. 84. P. 53–60.
15. Baer H.H., Saeed A.A. // Carbohydr. Res. 1979. V. 77. P. 117–129.
16. Byramova N.E., Ovchinnikov M.V., Backinowsky L.V., Kochetkov N.K. // Carbohydr. Res. 1983. V. 123. P. C8–C11.
17. Lonn H. // Carbohydr. Res. 1985. V. 139. P. 105–113.
18. Sherman A.A., Mironov Y.V., Yudina O.N., Nifantiev N.E. // Carbohydr. Res. 2003. V. 338. P. 697–703.
19. Чешев П.Е., Кононов Л.О., Цветков Ю.Е., Шашков А.С., Нифантьев Н.Э. // Биоорган. химия. 2002. Т. 28. С. 462–473.
20. Нифантьев Н.Э., Бакиновский Л.В., Липкинд Г.М., Шашков А.С., Кочетков Н.К. // Биоорган. химия. 1991. Т. 17. С. 517–530.

## Synthesis of Aminoethyl Glycosides of the Carbohydrate Chains of Glycolipids Gb3, Gb4, and Gb5

**P. E. Cheshev, E. A. Khatuntseva, A. G. Gerbst, Yu. E. Tsvetkov,  
A. S. Shashkov, and N. E. Nifantiev<sup>#</sup>**

<sup>#</sup> Phone/fax: +7 (095) 135-8784; e-mail: nen@ioc.ac.ru

*Zelinsky Institute of Organic Chemistry, Russian Academy of Sciences, Leninskii pr. 47, Moscow, 119991 Russia*

4-O-Glycosylation of 2-azidoethyl 2,3,6-tri-*O*-benzoyl-4-*O*-(2,3,6-tri-*O*-benzoyl- $\beta$ -*D*-galactopyranosyl)- $\beta$ -*D*-glucopyranoside with ethyl 2,3,4,6-tetra-*O*-benzyl- and ethyl 3-*O*-acetyl-2,4,6-tri-*O*-benzyl-1-thio- $\alpha$ -*D*-galactopyranoside in the presence of methyl trifluoromethanesulfonate led to trisaccharide 2-azidoethyl (2,3,4,6-tetra-*O*-benzyl- $\alpha$ -*D*-galactopyranosyl)-(1 $\rightarrow$ 4)-(2,3,6-tri-*O*-benzoyl- $\beta$ -*D*-galactopyranosyl)-(1 $\rightarrow$ 4)2,3,6-tri-*O*-benzoyl- $\beta$ -*D*-glucopyranoside and its 3"-*O*-acetylated analogue, 2-azidoethyl (3-*O*-acetyl-2,4,6-tri-*O*-benzyl- $\alpha$ -*D*-galactopyranosyl)-(1 $\rightarrow$ 4)-(2,3,6-tri-*O*-benzoyl- $\beta$ -*D*-galactopyranosyl)-(1 $\rightarrow$ 4)-2,3,6-tri-*O*-benzoyl- $\beta$ -*D*-glucopyranoside, in yields of 85 and 83%, respectively. Deacetylation of the latter compound and subsequent glycosylation with 4-trichloroacetamidophenyl 3,4,6-tri-*O*-acetyl-2-deoxy-1-thio-2-trichloroacetamido- $\beta$ -*D*-galactopyranoside and 4-trichloroacetamidophenyl 4,6-di-*O*-acetyl-2-deoxy-3-*O*-(2,3,4,6-tetra-*O*-acetyl- $\beta$ -*D*-galactopyranosyl)-1-thio-2-trichloroacetamido- $\beta$ -*D*-galactopyranoside in dichloromethane in the presence of *N*-iodosuccinimide and trifluoromethanesulfonic acid resulted in the corresponding selectively protected derivatives of tetrasaccharide GalNAc(β1 $\rightarrow$ 3)Gal(α1 $\rightarrow$ 4)Gal(β1 $\rightarrow$ 4)Glc $\beta$ -OCH<sub>2</sub>CH<sub>2</sub>N<sub>3</sub> and pentasaccharide Gal(β1 $\rightarrow$ 3)GalNAc(β1 $\rightarrow$ 3)Gal(α1 $\rightarrow$ 4)Gal(β1 $\rightarrow$ 4)Glc $\beta$ -OCH<sub>2</sub>CH<sub>2</sub>N<sub>3</sub> in 88 and 73% yields, respectively. Removal of *O*-protecting groups, substitution of acetyl group for *N*-trichloroacetyl group, and reduction of the aglycone azide group resulted in the target 2-aminoethyl *globo*-tri-, -tetra-, and -pentasaccharide, respectively. The English version of the paper: *Russian Journal of Bioorganic Chemistry*, 2003, vol. 29, no. 4; see also <http://www.maik.ru>.

**Key words:** aminoethyl glycosides, glycosylation; glycosides Gb3, Gb4, and Gb5; globosides